

## تقييم الفعالية التثبيطية لمادة الأبجنين (Apigenin) المستخلصة من أوراق نبات الميرمية (Salvia officinalis) في نمو خلايا الخط السرطاني L20B

عصام فاضل الجميلي\*

علي حسين الحية\*\*

انتصار حسين علي\*

استلام البحث 29، كانون الاول، 2009  
قبول النشر 13، شباط، 2011

### **الخلاصة:**

هدف الدراسة إلى تقييم الفعالية التثبيطية لمادة الأبجنين (Apigenin) المستخلصة من أوراق نبات الميرمية (*Salvia officinalis*) في نمو خلايا الخط السرطاني L20B خارج الجسم الحي (*in vitro*) ولمدة حضن 48 و 72 ساعة. اذ درست ثمانية تراكيز (1، 1.53، 3.13، 6.25، 12.5، 25.0، 50.0، 100.0 ميكرومولار) من هذه المادة وتراكيز مماثلة من فيتامين سي ورابع كلوريد الكاربون (CCl<sub>4</sub>). اظهر الأبجنين فعالية تثبيطية واضحة لنمو الخلايا السرطانية وخصوصاً بالتراكيز الواطئة (1، 3.13، 6.25 ميكرومولار) ولمدة الحضانة 72 ساعة مقارنة بفيتامين سي ورابع كلوريد الكاربون وبفرق معنوي.

**الكلمات المفتاحية :** نبات الميرمية ، الفعالية التثبيطية ، الخلايا السرطانية من نوع L20B .

### **المقدمة:**

وذلك لقدرة الأبجنين على التأثير على الخلايا السرطانية بالطور G2/M اذ يثبطها في هذا الطور ويبحث الموت المبرمج لها وكذلك من خلال زيادة تنظيم العامل P21 اذ يعمل على ايقاف اقسام الخلايا [9]، كما يمتلك الأبجنين فعالیه مضادة للأكسدة اذ يعمل على سحب الجنور الحرة [10]. وفي ضوء ذلك صممتم وأنجزت الدراسة الحالية لتقدير الفعالية التثبيطية لمادة الأبجنين المستخلصة من أوراق نبات الميرمية في نمو خلايا الخط السرطاني L20B خارج الجسم الحي (*in vitro*).

تمناك الفلافونات القدرة على حماية الأنظمة الحيوية من خلال قدرتها على نقل الكترونات الجنور الحرّة والتفاعل مع المعادن [1] وتنشيط الإنزيمات المضادة للأكسدة [2] وتنشيط عملية الأكسدة [3]. وفي مجال مضادات السرطان (Anti-cancer agents) ولتحديد قابليتها على منع حدوث السرطان المستحدث أو علاجه لوحظ بأنها تمتلك فعالية في تنشيطه سواء أكان في الحي (in vivo) أم في الزجاج (in vitro) [4] اذ تؤثر في نمو الورم السرطاني في مراحل مختلفة وخاصة في مرحلة النشوء (Initiation) والتطور (Progression) [5]. وبعد الأبجنين (Apigenin) من الفلافونات الواسعة الانتشار في النباتات وبعد مكوناً مهماً فيها [6]، ويوجد في أوراق نبات الميرمية (*Salvia officinalis*) بنسبة تصل إلى 2.5 غرام لكل كيلوغرام [6]. وهو من مواد الأيض الثنائي في النبات وتنتمي هذه المركبات بوجود حلقة الفلافون ووزنة الجزيئي 270.24 دالتون، أما صفاته الكيميائية والفيزيائية فهو يكون بشكل بلورات أبلية صفراء اللون ودرجة الانصهار (Melting point) هي 347 °C [7]، وينوب في الماء والكحول الحار بصورة متسطه وكلياً في هيدروكسيد البوتاسيوم [8] وهو من المواد ذات الفعالية المضادة للتسرطن (-Anti-carcinogenesis)، اذ وجد بأنه يمتلك القابلية على تنشيط فعل مادة على القابلية في استئثار سرطان الجلد في الفئران (DMBA) (Dimethylbenzanthracene) لها القابلية في استئثار سرطان الجلد في الفئران

\*فرع القنات الكيميائية الإحيائية ، قسم العلوم التطبيقية، الجامعة التكنولوجية.

\*\*معهد الهندسة الوراثية والتقنيات الإحيائية للدراسات العليا، جامعة بغداد.

\*\*\*وحدة الأبحاث البيولوجية للمناطق الحارة، كلية العلوم، جامعة بغداد.

دقيقة فحصت الخلايا باستخدام المجهر الضوئي وتحت قوة تكبير 40X، وبالاعتماد على طريقة Darling and Morgan (1994) قدرت النسبة المئوية للخلايا الحية وكذلك حسب تركيز الخلايا (خلية/مليتر) وفق المعادلة الآتية:

$$C \text{ (cell/ml)} = n \times d \times 10^4$$

C : تركيز الخلايا ، n : عدد الخلايا المحسوبة ، d : معامل التخفيف .

#### • زرع الخلايا Cell Seeding

استخدمت أطباق الزرع النسيجي ذات الحفر المتعددة (Microtiter plates) (96 Microtiter plates) ذات القعر المسطح (Flat bottom) لزرع الخلايا السرطانية المستحصل عليها بعد تكون الطبقة الأحادية الكاملة لها وإزالتها من سطوح الأوعية وتفكيكها بمحلول التربسين / الفربسين وكما موضح بالخطوات الآتية:

أ. أضيف 20 ملilتر من الوسط الزرعي المغذي الكامل المدعم بالمصل والذي حضن بحرارة 37°C وعلقت الخلايا في الوسط جيداً.

ب. نقل 0.2 ملilتر من عالق الخلايا بواسطة ماصة دقيقة إلى كل حفرة من حفر الطبق، أذ احتوت كل حفرة على ما لا يقل عن  $1 \times 10^5$  خلية.

ت. غطي سطح الطبق بورق لاصق شفاف معقم خاص لهذا الغرض، وبعدها حرك الطبق دائرياً بلطف وحضن في الحاضنة بحرارة 37°C إلى اليوم التالي للسماح بالتصاق الخلايا (Cell attachment) وبالتالي نموها.

#### • معاملة الخلايا السرطانية بالابجنيين وفيتامين سي ورابع كاربون

فحصت الأطباق الحاوية على الخلايا السرطانية تحت المجهر مقلوب الطور (Phase inverted contrast microscope) للتأكد من نمو الخلايا بشكل جيد في الحفر وبنسبة لاتقل عن 70% من مساحة الحفرة، وأعقبها إجراء المعاملات

(Treatments) بحسب الخطوات الآتية:

أ. حضرت تخفيف نصفية متسلسلة في أنابيب اختبار معقمة لكل من الابجنيين وفيتامين سي ورابع كاربون باستعمال الوسط SFM (Seraum free media) للحصول على التراكيز 1.56 و 3.13 و 6.25 و 12.5 و 25 و 50 و 100 و 200 مايكروغرام/مليلتر، مع مراعاة تحضيرها آنياً عند العمل وحضارتها بحرارة 37°C لحين الاستعمال.

ب. سكب الوسط الزرعي من حفر أطباق الزرع النسيجي بعد رفع اللاصق، ثم أضيف 0.2 ملilتر من كل تراكيز المحضرة آعلاه وبواقع 3 حفر لكل تراكيز (ثلاث مكررات) وقد عد العمود رقم 5 من الطبق كسيطرة سالبة فقد أضيف له 0.2 ملilتر من SFM، مع مراعاة ان

هذا الخط من قبل [12] والذي يمثل خلايا سرطانية حورت للتعبير في فيروس Poliovirus والذي يصيب الإنسان ويرتبط بالمستقبل CD155، حيث زرعت خلايا الخط الورمي في الرجاج وباستخدام الوسط الزرعي RPMI-1640 المدعم بآلومين (Bovine serum albumin) بنسبة 10%， وعند الحصول على طبقة أحادية كاملة (Confulent monolayer) عملت المزارع من أجل الحصول على المزارع الثانوية (Subculture) ثم نمت الخلايا السرطانية في الوسط الزرعي بأوعية الزرع النسيجي عن طريق التخلص من الوسط الزرعي القديم وغسل الخلايا بمحلول داري الفوسفات الملحي المعقم والذي تم التخلص منه، وعند ذلك أضيف 3-2 ملilتر من محلول تربسين/فربسين المعقم بحيث غطى سطح الخلايا عند وضع الأوعية بشكل أدق مع التحريك بلطف لمدة 10-15 ثانية ومن ثم التخلص منه واستبداله بمحلول ذاته (3 ملilتر) وحضرت الأوعية بحرارة 37°C لمدة 5-3 دقائق وبعدها أزيلت الخلايا من سطوح الأوعية بضرب تلك السطوح التي التصقت عليها الخلايا باليد بلطف للمساعدة في إكمال إزالة الخلايا وتفكيكها، ثم أضيف وسط زرعي جديد بحجم 10-15 ملilتر مع مجاسة الخلايا بالمزج مع الوسط الجديد وبعدها تم توزيع عالق الخلايا في وعائين من أوعية الزرع النسيجي بحجم 25 سم وبمقدار 7-5 ملilتر في كل وعاء. حضرت الأوعية بحرارة 37°C مع متابعة نمو الخلايا واستبدال الوسط الزرعي القديم بأخر جديد كلما تغير لونه وحتى اكتمال تكون طبقة أحادية كاملة، وهكذا كررت عملية إجراء المزرعة الثانية كلما دعت حاجة الخلايا لها [12].

#### • عد الخلايا الحية Viable Cell Counting

استعملت طريقة ملون التريبيان الزرقاء في عد الخلايا السرطانية الحية، حيث تتلون الخلايا الميتة بلون الملون بعد ثوان قليلة من مزجها معها وبذلك يمكن تمييزها عن الخلايا الحية والتي لا تأخذ الملون وبحسب الخطوات الآتية:

أ. بعد تحضير عالق الخلايا وتفكيكها بالتربيسين - فربسين من وعاء الزرع النسيجي وإضافة الوسط الزرعي المغذي لها (مايقارب 3 ملilتر)، أضيف 0.2 ملilتر من محلول ملون التريبيان الزرقاء (المخفف عشر مرات) إلى 0.2 ملilتر من عالق الخلايا مع إضافة 1.6 ملilتر من محلول داري الفوسفات الملحي المعقم في أنابيب اختبار ومزجت المحتويات جيداً.

ب. وضع 40-20 مايكرولتر من معلق الخلايا أعلى على حافة غطاء الشرحة المثبت فوق شريحة عد خلايا الدم البيض، وبعد مرور 1-2

أقل فرق معنوي (Less Significant differential) وذلك باستخدام البرنامج الإحصائي SPSS الجاهز .

### النتائج والمناقشة :

درس التأثير السمي-الخلوي (Cytotoxic) لتراكيز مختلفة (1.53، 3.13، 6.25، 12.5، 25.0، 50.0، 100.0، 200.0 ميكرومولار) من الأبجينين وفيتامين سي ورابع كلوريد الكاريون في خلايا الخط الخلوي السرطاني L20B في الزجاج (in vitro) بعد فترتي حضن 48 و 72 ساعة. سجلت أعلى نسب تثبيط لنمو الخلايا عند التراكيز 1.56 و 3.12 و 6.25 و 12.5 ميكرومولار من الأبجينين، إذ كان التأثير السمي-الخلوي واضحاً بعد 48 ساعة وبلغ 80.67 و 73.68 و 71.97 و 49.65 و 25.99٪، على التوالي، وازداد ليصبح 78.63 و 75.29 و 57.47٪ بعد 72 ساعة من الحضن للتراكيز ذاتها وعلى التوالي (شكل 1و2) إلى أن ظهر انخفاضاً في التأثير السمي بارتفاع التراكيز عن 25 ميكروغرام/مليتر وكلما متى الحضن.

بينما كانت أعلى نسبة تثبيط لنمو خلايا L20B عند التراكيز 200 و 100 و 50 ميكرومولار من رابع كلوريد الكاريون حيث بلغت النسبة المئوية للتثبيط 61.43 و 76.36 و 84.86٪، على التوالي بعد 48 ساعة من الحضن، إلا أن هذه النسبة أخذت بالانخفاض بعد 72 ساعة من الحضن ليصبح 54.67 و 67.03 و 54.67٪ للتراكيز ذاتها على التوالي (شكل 1و2)، فضلاً عن ظهور تقدّم ملحوظ وارتفاع تدرجٍ في حيوية الخلايا بانخفاض تركيز رابع كلوريد الكاريون عن 12.5 ميكرو مولار وكلما متى التعريض.

كما سجل أعلى تثبيط لخلايا L20B المعاملة بفيتامين سي عند التراكيز 200 و 100 و 50 ميكرومولار اذ بلغ 71.14 و 49.25 و 28.23٪، على التوالي بعد 48 ساعة إلا إن هذه النسبة أخذت بالانخفاض بعد 72 ساعة من الحضن ليصبح - 26.45 و 28.17 و 21.74٪، على التوالي (شكل 1و2). كما لم يلاحظ حدوث تأثيرات واضحة لارتفاع السمية بزيادة تراكيز فيتامين سي عن 25 ميكرومولار بعد 48 و 72 ساعة من الحضن.

تكون إضافة SFM وتراكيز الأبجينين وفيتامين سي ورابع كلوريد الكاريون بصورة سريعة قدر الإمكان وإعادة تغطية سطح الطبق بطبقة جديدة من الورق اللاصق ثم تحريك الطبق دافريا بلطف. حضنت الأطباق في الحاضنة بحرارة 37°C وكانت فترات التعريض (Exposure time) 48 و 72 ساعة.

### • تلوين أطباق الزرع النسيجي

استخدم ملون البلور البنفسجي (Crystal violet) للكشف عن التأثير السمي الخلوي للمركبات المذكورة في الفقرة السابقة (3.11.2) في الخلايا السرطانية والمتبعة من قبل [13] ووفق الخطوات الآتية:

أ. بعد انتهاء فترة التعريض المحددة، سُكبت محلولات حفر الأطباق وأضيف 0.1 ملليلتر من محلول ملون البلور البنفسجي إلى كل حفرة من حفر الطبق، ثم حضنت الأطباق بحرارة 37°C لمدة 30 دقيقة.

ب. سُكبت الملون وتم التخلص من الفائض منه والمتبقي في الحفر بغسلها بالماء الجاري وبهدوء جداً تلاه الماء المقطر ثم قُلبت الأطباق لتجف بدرجة حرارة الغرفة.

ت. قرأت الامتصاصية للخلايا الممتصة للملون عند طول موجي 492 نانوميتر وباستخدام المطياف الضوئي الخاص بأطيف المعايرة (ELISA spectrophotometer microplate) وحسبت النسبة المئوية لحيوية الخلايا (Percentage of cell viability) وفق طريقة (10) وبحسب المعادلة الآتية:

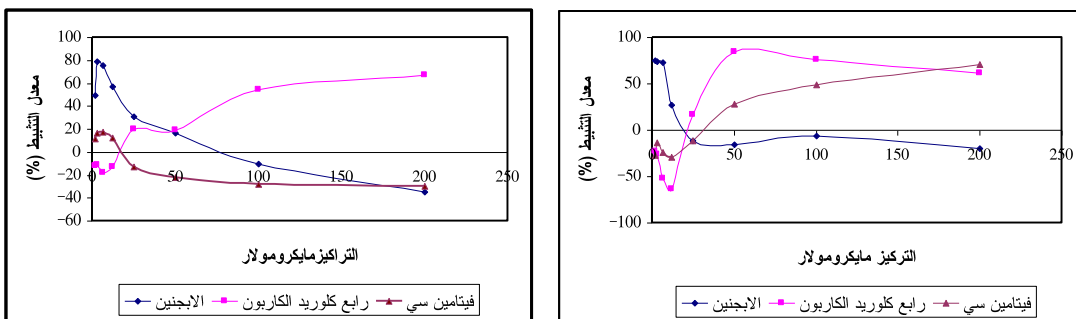
النسبة المئوية لحيوية الخلايا =  $\frac{\text{المتصاصية لمجموعة الاختبار}}{\text{المتصاصية للسيطرة السالبة}} \times 100$

في حين حسبت النسبة المئوية لمعدل التثبيط (Inhibition rate) وفق الطريقة المعتمدة من قبل [14] وحسب المعادلة الآتية:

النسبة المئوية لمعدل التثبيط =  $\left\{ \frac{\text{المتصاصية للسيطرة السالبة} - \text{المتصاصية لمجموعة الاختبار}}{\text{المتصاصية للسيطرة السالبة}} \right\} \times 100$

### • التحليل الإحصائي:

تم تحليل النتائج إحصائياً وذلك باستخدام (ANOVA Table) لتحليل التباين وبعدها اختبرت معنوية الفروق بين المعدلات باستخدام اختبار (Duncan Multiple Range).



شكل 2: العلاقة بين الأججين ورابع كلوريد الكاربون وفيتامين سي في معدل تثبيط الخلايا السرطانية L20B بعد مرور 72 ساعة حضانة.

مايكرومولار من رابع كلوريد الكاربون حيث كانت النسبة المئوية لبقاء الخلايا 38.55 و 23.63 و 15.12 %، على التوالي، وكان الانخفاض معنويًا عند التراكيز 200 و 100 و 50 مايكرومولار من فيتامين سي حيث كانت النسبة المئوية لبقاء الخلايا 31.74 و 50.74 و 71.76 %، على التوالي (جدول 1).

شكل 1: العلاقة بين الأججين ورابع كلوريد الكاربون وفيتامين سي في معدل تثبيط الخلايا السرطانية L20B بعد مرور 48 ساعة حضانة.

كما اظهر التحليل الإحصائي في النسب المئوية لبقاء الخلايا السرطانية لمدة التعريض 48 ساعة (Time-dependent) بأن التراكيز الواطنة للأججين (1.56 و 3.12 و 6.25 مايكرومولار) أظهرت انخفاض معنوي واضح حيث كانت النسبة المئوية لبقاء الخلايا 46.01 و 26.30 و 28.01 % على التوالي، حين سجل انخفاضاً معنواً في حيوية خلايا L20B عند التراكيز 200 و 100 و 50

جدول 1: النسبة المئوية لمعدل بقاء خلايا L20B بعد 48 ساعة من معاملتها بالأججين ورابع كلوريد الكاربون وفيتامين سي

الاحتمالية ≥	معدل بقاء الخلايا ± الخطأ القياسي (%) *			عدد المكررات	التراكيز (مايكرومولار)
	فيتامين سي	رابع كلوريد الكاربون	الأججين		
غير معنوية	23.52±73.27	21.36±77.09	31.17±46.01	3	1.56
0.01	14.14±88.96	14.07±74.27	4.69±26.30	3	3.13
0.01	16.10±76.29	48.02±151.75	5.95±28.01	3	6.25
غير معنوية	28.33±124.02	29.95±162.47	35.18±97.48	3	12.50
غير معنوية	5.59±115.22	11.92±83.17	16.35±94.35	3	25.0
0.01	12.51±71.76	4.52±15.12	14.59±87.06	3	50
0.01	7.92±50.74	7.68±23.63	5.86±104.21	3	100
0.01	7.25±31.74	3.99±38.55	5.75±120.37	3	200

\*تشير الحروف المختلفة إلى فرق معنوي (الاحتمالية ≥ 0.05) بين معدلات العمود (Column) الواحد.

مع التراكيز ذاتها من رابع كلوريد الكاربون حيث كانت نسبة بقاء الخلايا 100.60 و 88.41 و 81.42 %، على التوالي بعد 72 ساعة من التعريض. كما ظهرت فروقاً معنوية في النسب المئوية لبقاء الخلايا المعاملة بالتراكيز ذاتها من فيتامين سي حيث كانت 90.18 و 83.67 و 87.70 %، على التوالي (جدول 2).

وكانت هناك فروقاً معنوية في النسب المئوية لبقاء خلايا L20B معتمدة على نوع المادة المستخدمة عند مدة حضانة 72 ساعة حيث سجل انخفاضاً معنواً في النسب المئوية لبقاء الخلايا المعاملة بـ 6.25 والأججين 1.56 و 3.12 و 21.36 و 50.25 و 24.69 %، على التوالي مقارنة

جدول 2: النسبة المئوية لمعدل بقاء خلايا L20B بعد 72 ساعة من معاملتها بالابجينين ورابع كلوريد الكاربون وفيتامين سي.

الاحتمالية ≥	معدل بقاء الخلايا ± الخطأ القياسي (%)			عدد المكررات	التراكيز (مايلرومول)
	فيتامين سي	رابع كلوريد الكاربون	ابجينين		
0.05	<sup>1</sup> 16.06±90.18	<sup>1</sup> 16.15±100.60	<sup>2</sup> 9.17±50.25	3	1.56
0.01	<sup>1</sup> 7.87±83.67	<sup>1</sup> 9.38±88.41	<sup>2</sup> 3.86±21.36	3	3.13
0.01	<sup>1</sup> 17.69±87.70	<sup>1</sup> 7.76 ± 81.42	<sup>2</sup> 1.31± 24.69	3	6.25
0.05	<sup>1</sup> 17.10±105.22	<sup>1</sup> 17.54 ± 99.36	<sup>2</sup> 8.19±42.51	3	12.5
غير معنوية	<sup>1</sup> 19.26± 92.26	<sup>1</sup> 4.29 ± 79.84	<sup>2</sup> 8.19± 68.70	3	25
غير معنوية	<sup>1</sup> 28.43±117.87	<sup>1</sup> 11.66 ± 80.62	<sup>2</sup> 33.68±111.04	3	50
0.05	<sup>1</sup> 20.60±71.82	<sup>2</sup> 0.79± 45.31	<sup>1</sup> 9.94 ± 90.24	3	100
0.05	34.74± 81.04	<sup>2</sup> 4.24± 32.97	<sup>1</sup> 43.63±107.44	3	200

\*تشير الحروف المختلفة إلى فرق معنوي (الاحتمالية ≥ 0.05) بين معدلات العمود (Column) الواحد.

activity relationship and classification of flavonoids as inhibitors of xanthine oxidase and superoxide scavengers, J Nat Prod, 61(4): 71-76.

4. Castelluccio, C., Paganga, G., Melikian, N., Bolwell, G. P., Pridham, J., Sampson, J., and Rice-Evans, C. 1995. Antioxidant potential of intermediates in phenylpropanoid metabolism in higher plants, FEBS Lett, 368(5): 188-192.
5. Sanders, C. L. 2003. Prevention and therapy of cancer and other common diseases: Alternative traditional approaches. Gail's Books. USA.
6. Dordevic,S.; Cakic,M. and Amr,S.2001. The extraction of apigenin and Luteolin from the sage *Salvia officinalis* L. from Jordan.The Scientific Journal FACTA;1(5):87– 93.
7. Paladini, A.D.; Marder, M.;Viola, H.and Medina, J.H.1999. Flavonoids and the central nervous system.J.Pharmacol.,51(5):519-526
8. Lide,Y.C. 1997. Suppression of extracellular signals and cell proliferation through EGF receptor binding by (-)- epigallocatechin gallate in human A431 epidermoid

كما إن تأثير رابع كلوريد الكاربون سيطرة سالبة على خط خلايا L20B سام خلويًا (Cytotoxic) بالتراكيز العالية وأصبح غير فعال عند انخفاض التراكيز وكذا الحال بالنسبة لفيتامين سي سيطرة موجبة، أما الأبجينين فقد كان له تأثير سام خلويًا بالتراكيز المنخفضة وقللت فعاليته بالتراكيز العالية، وذلك لقدرة الأبجينين على التأثير على الخلايا السرطانية بالطور G2/M حيث يرتبطها في هذا الطور ويبحث الموت المبرمج لها وكذلك من خلال زيادة تنظيم العامل P21 وتنقلي مسنوی تنظيم mRNA Cyclin B1 والبروتين [15] كما انه ينشط الموت المبرمج الذي يتضمن المسارين Intrinsic و Extrinsic للموت المبرمج [16] لذا يعمل الأبجينين على وقف دورة انقسام الخلية عند وجود أي خلل داخل الخلية والناتج من الأثر السمي للمطفرات مما يتتيح الفرصة لإنزيمات الإصلاح أن تقوم بدورها في إصلاح هذا الخطأ بدقة عالية .[17]

#### المصادر:

1. Ferrali,M. L. ; Gil,B. and Sanz,M.J .1997.Effect of bakuchiol on leukocyte funcation .J Pharm Phamcol,48(2):975-80.
2. Elliott, R.M.; Astley, S.B.; Southon, S. and Archer, D.B. 1992. Measurement of cellular repair activities for oxidative DNA damage. Free Radic. Biol. Med. 28(5):1438-46.
3. Cos, P., Ying, L., Calomme, M., Hu, J. P., Cimanga, K., Van Poel, B., Pieters, L., Vlietinck A.J., and Vanden Berghe, D.1998. Structure-

13. **Gao**, S.; Yu, B. -P.; Dong, W. -G.; Luo, I. -S. and Li, Y. 2003. Antiproliferative Effect of Octreotide on Gastric Cancer Cells Mediated by Inhibition of Akt/PKB and Telomerase. *World J Gastroenterol.*, 9(10): 2362-2365.
14. **Mather**, J.P. and Roberts, P.E. 1998. Introduction to cell and tissue culture theory and technique. Plenum Press, New York.
15. **Zhang**, Q.; Zhao, X. and Wang, Z. 2009. Cytotoxicity of flavonols to a human esophageal squamous cell carcinoma cell line by induction of G2/M arrest and apoptosis. *Nath. Insit. of Health.*;15(3): 12-20.
16. **Choi**, E. and Kim, G. 2009. Apigenin induces apoptosis through a mitochondria pathway in human breast cancer . *J. Clin. Biochem. Nutr.*; 44(3) : 260-265.
17. **Sarkar**, F. H. and Li, Y. 2004. Indole-3carbinol and prostate cancer. *J. Nutr.* 134(3): 3493-3498.
- carcinoma cells. *J. cell Biochem.*, 67(7):55 – 56.
9. **Chen,D.** and Dou, Q. 2008. Tea polyphenols and their roles in cancer prevention and chemotherapy. *Nath. Insit. of Health.*; 9 (7) :196-206.
10. **Berggren**, M.; Sittadjody, S.; Song, Z. and Burd, R. 2009. Sodium selenite increases the activity of the tumer suppressor protein. *Nutr. Cancer.*; 61 (3) : 322-331.
11. **Sinisa**, D.; Milorad, C. and Salameh, A. 2001. The extraction of Apigenin and Luteolin from the Sage *Salvia officinalis* from Jordan.Working and Living Enviromental Protection, 1(5): 87-93.
12. **Perez-Serrano**, J.; Denegri,G.; Casado,N. and Fodriguez-Cabaeiro 2007. *In vivo* of oral albendazol and albendazol sulphoxide on the development of secondary echinococcos in mice. *Int. J. Parasit.*,27(5):1341 – 1345.

## **Evaluating the Inhibitory Activity of Apigenin Extracted from *Salvia officinalis* leaves on the Growth of L20B Cancer Cell Line**

**Entessar H.A. Al-Mosawe\***

**Essam F. Al-Jumaily\*\***

**Ali H. Ad'hiah\*\*\***

\*Biotechnology Division, Applied Sciences Department, University of Technology.

\*\*Genetic Engineering and Biotechnology Institute for Postgraduate Studies, University of Baghdad.

\*\*\*Trapical-Biological Research Unit, College of Science, University of Baghdad.

### **Abstract:**

The study aimed to evaluating the inhibitory activity of apigenin extracted from *Salvia officinalis* leaves on the growth of L20B cancer cell *in vitro*, and through two incubation periods; 48 and 72 hours. Accordingly, eight concentrations (1.56, 3.13, 6.25, 12.5, 25.0, 50.0, 100.0 and 200.0 micromol) of apigenin and similar concentrations of vitamin C and carbon tetrachloride ( $CCl_4$ ) were tested. The apigenin revealed its significant inhibitory potentials against the growth of L20B cell line, especially at the low concentrations (1.56, 3.13 and 6.25 micromol) and at 72 incubation period in comparison with vitamin C and  $CCl_4$ .